

A vibrant sunset over a body of water, with the sun low on the horizon, creating a bright glow and reflecting on the water's surface. The sky is filled with warm orange and yellow hues, and the water below is dark with shimmering highlights from the sun.

# **Preparaty homeopatyczne nowej generacji**

**Diana Wojtkowiak  
Włodzimierz Misztal  
Marlena Stokowska**

**Gdańsk 2025**

HCG

Smalec → Leptyna

Slim III

Ozempic

BioEmoLibra

Electrons preparate

Struktura Iodu

Iwermektyna

Amantadyna

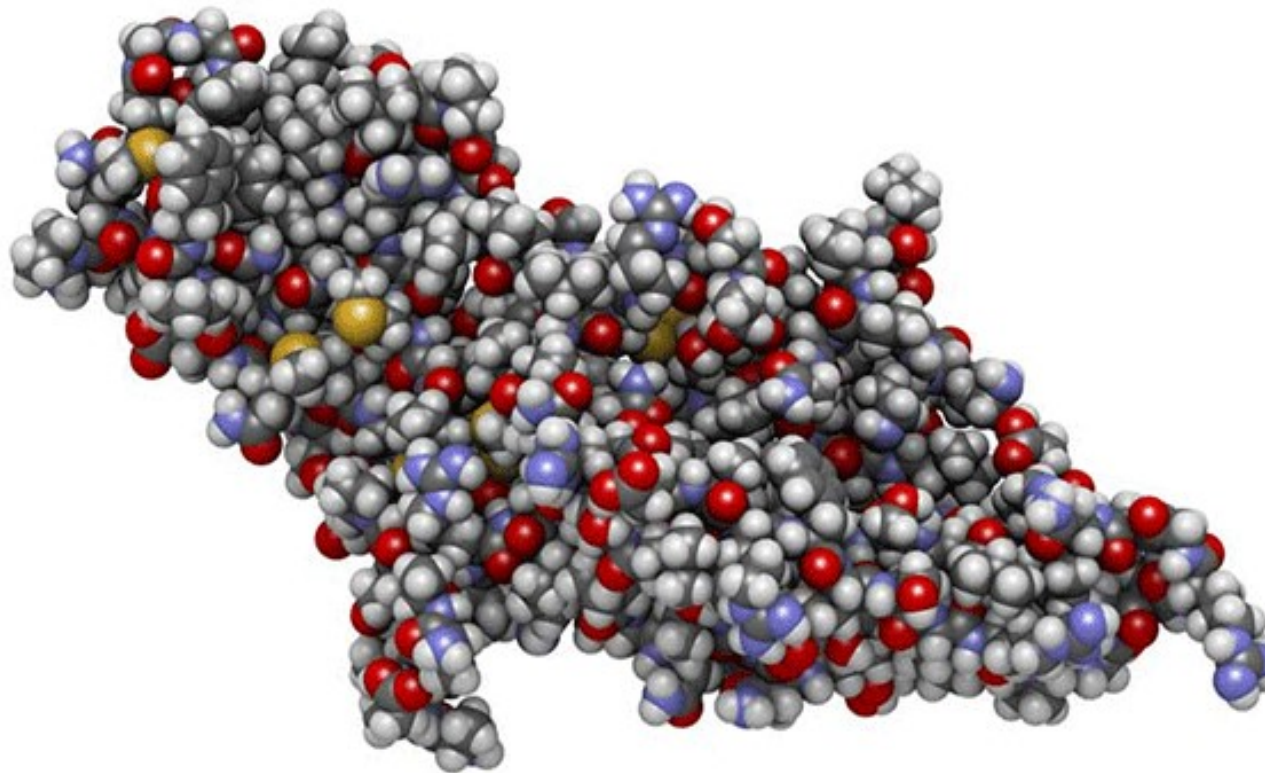
Penicillium chrysogenum

Histasolv

Amanita muscaria

# HCG

Unikalna właściwość cząstki pola torsyjnego - kopiowanie najbardziej skomplikowanych struktur

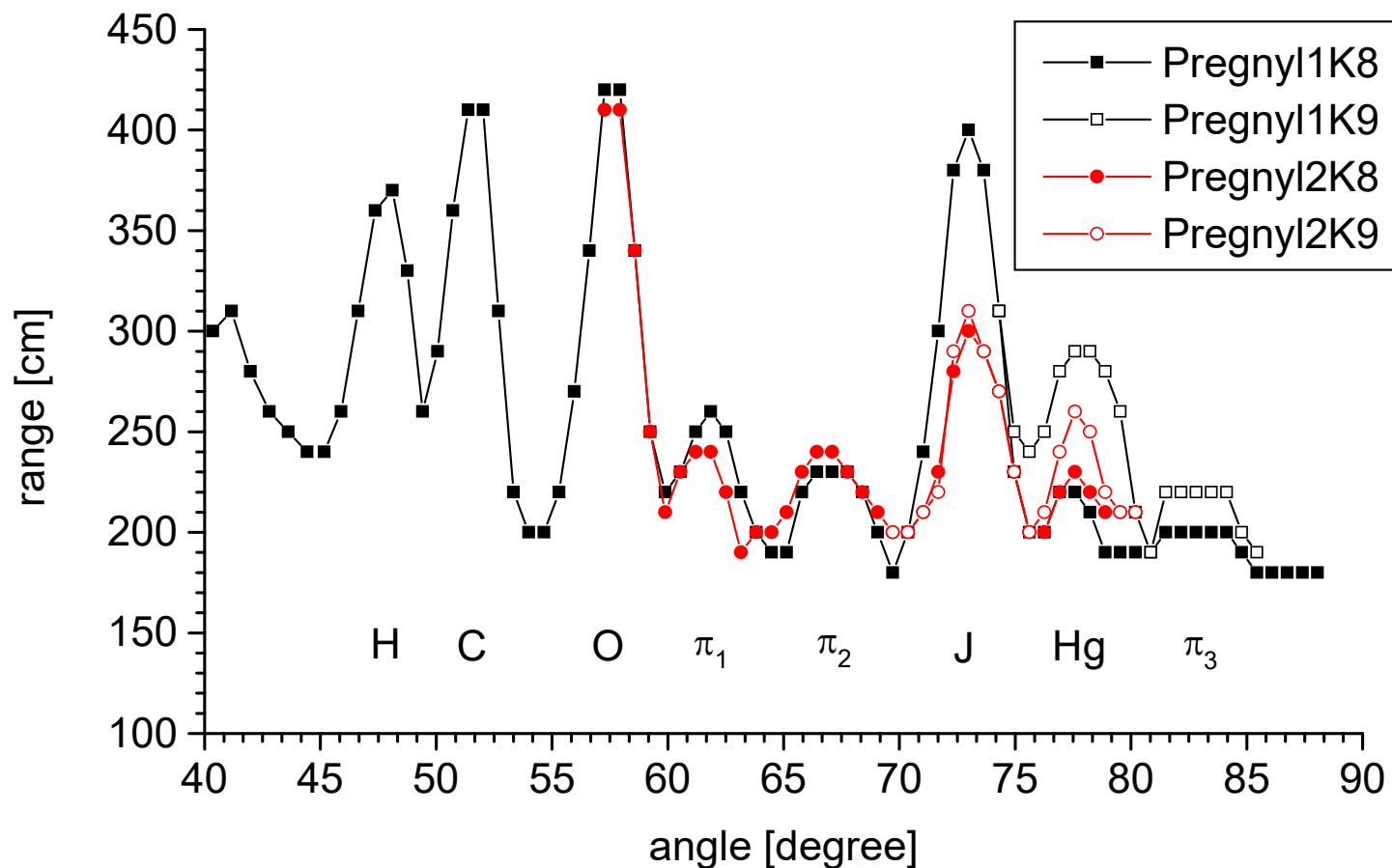


Human Chorionic Gonadotropin (HCG)

Informacja HCG na cząsteczce pola torsyjnego oszukuje receptor HCG, że to prawdziwe białko HCG.

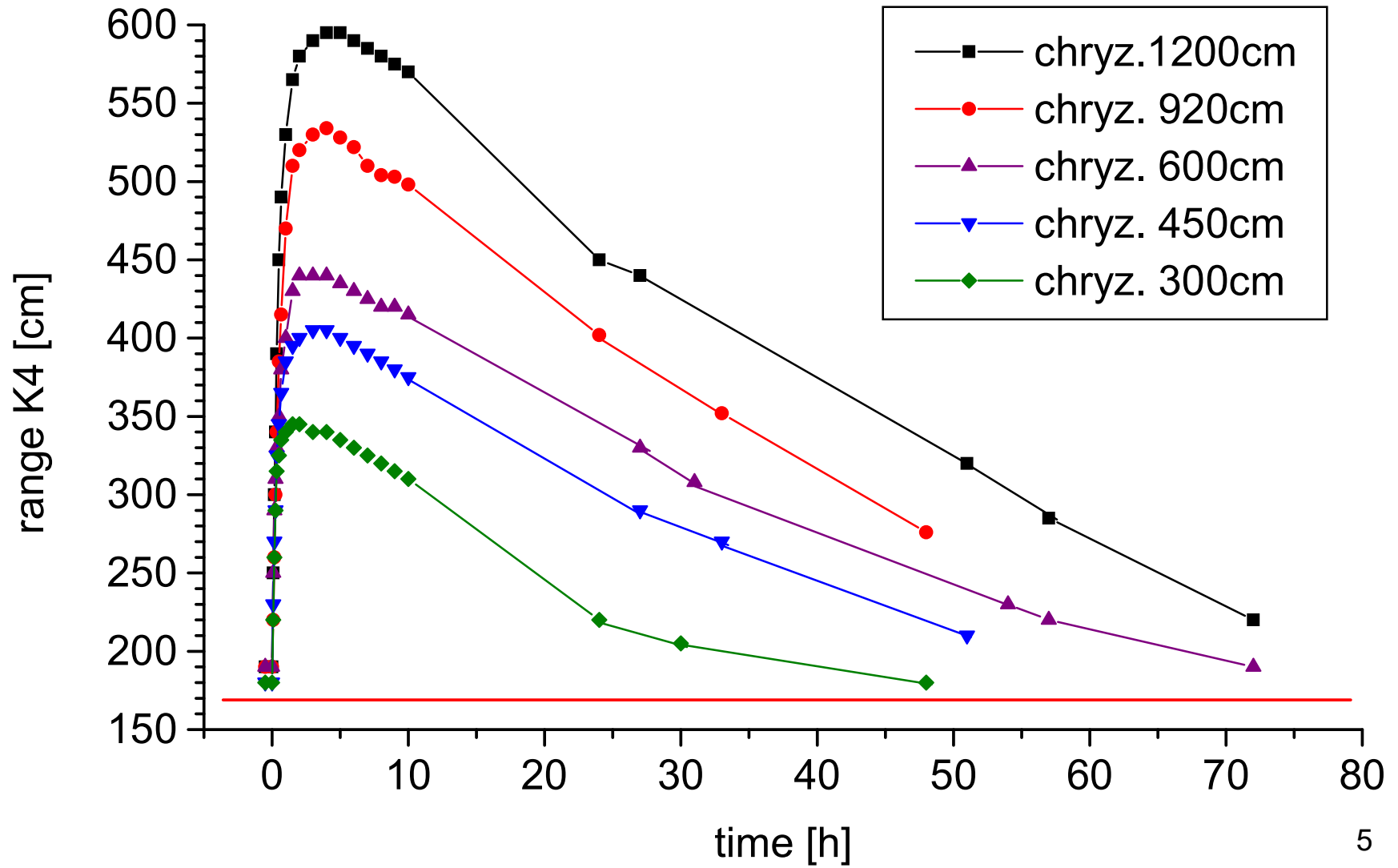
# Leki homeopatyczne działające na receptory cząsteczek sygnałowych

## Gonadotropina kosmówkowa - HCG

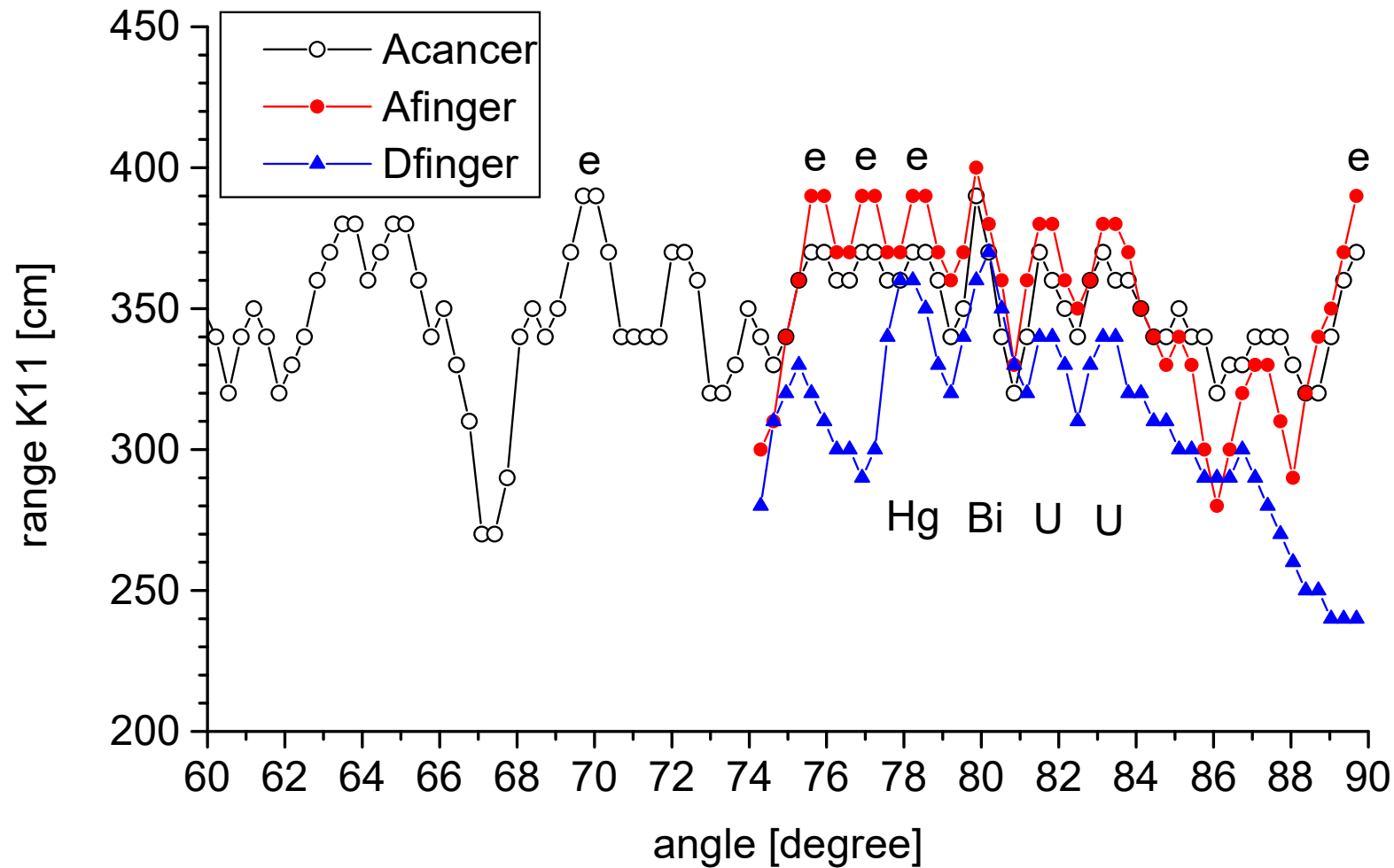


Receptory dają się oszukać cząstkom pola torsyjnego, że są prawdziwą cząstką sygnałową

# Penicillium chryzogenum

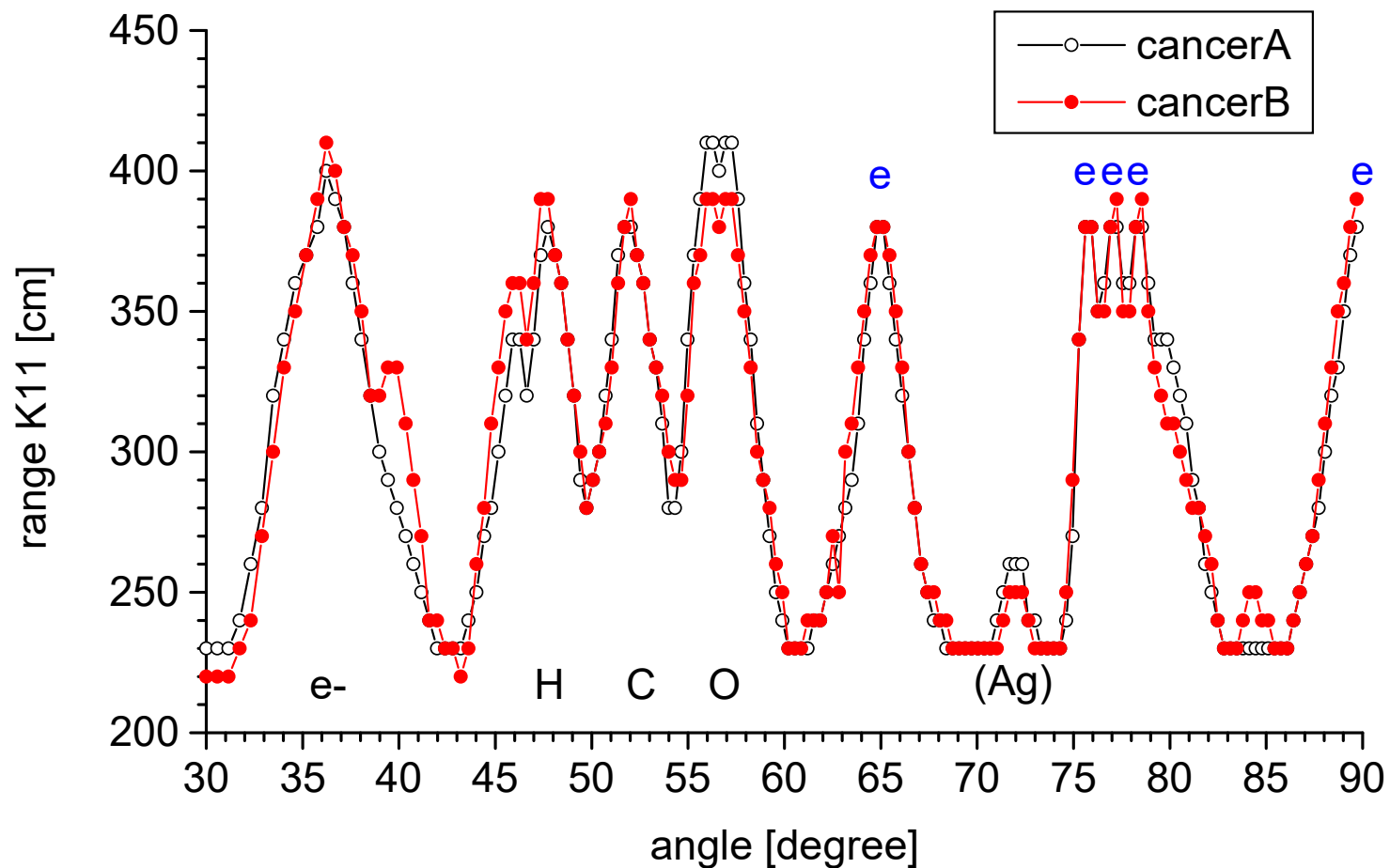


## Pole nowotworowe



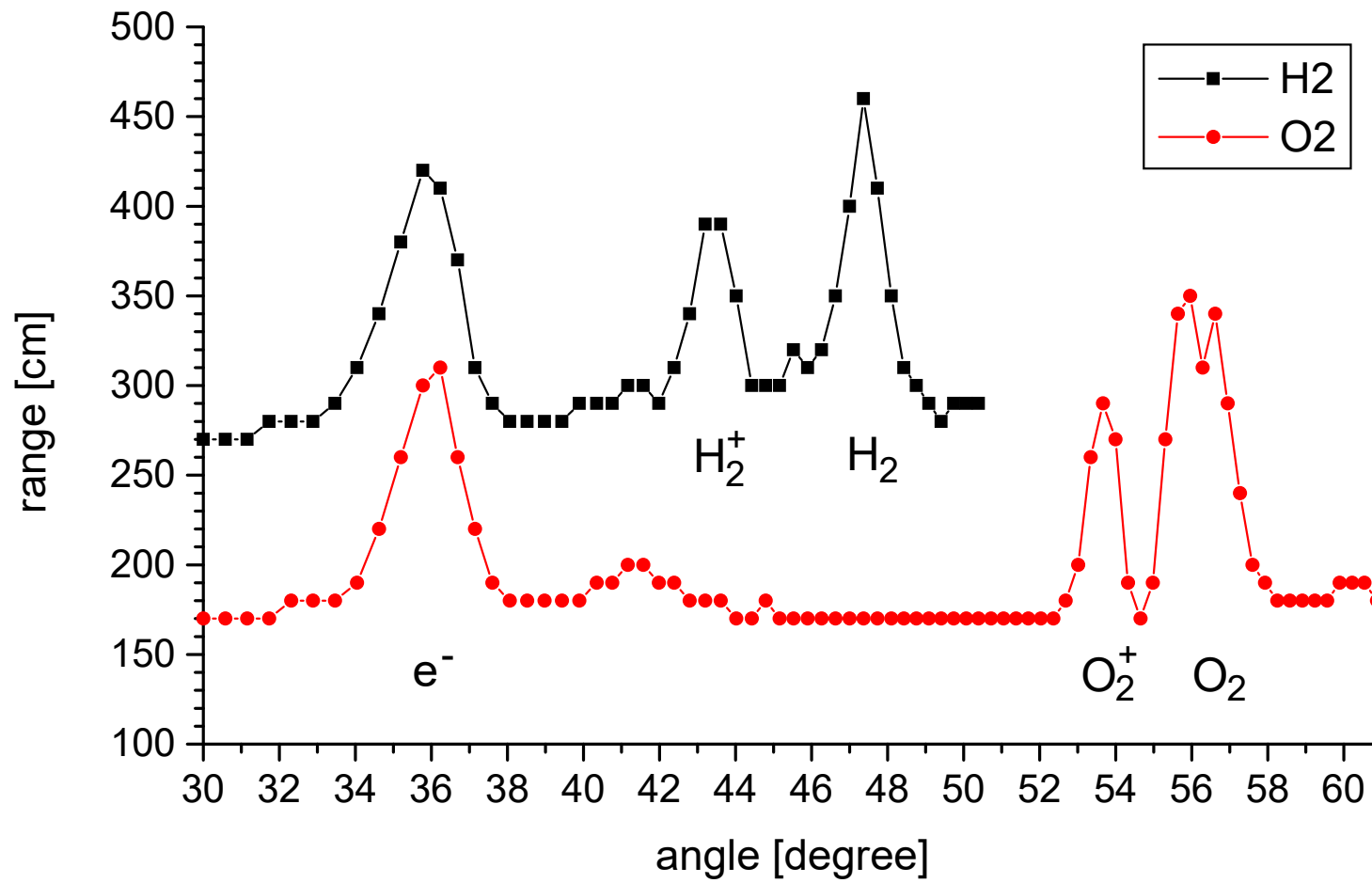
Pole nowotworowe jednopierścieniowej substancji aromatycznej (jeden układ sprzężony) nie jest lokalne, rozchodzi się z nowotworu na całe ciało. U osoby bez nowotworu tego sygnału nie ma.

## Substancja odpowiedzialna za pole nowotworowe



- Carcinosinum lek homeopatyczny z nowotworów

# Homeopathic prepare of electrons



## **Bio Emo Libra**

Biorytm emocjonalny K7 - rtęć

**Dla zegara uranowego, znaki zodiaku, biorytm intelektualny**

**Opioidy - Kategoria 7**

(występuje powiazanie opioidów z acetylocholiną - dla K7)

modulacja odczuwania bólu<sup>77</sup>

apetyt na węglowodany i tłuszcze



## Astrologia klasyczna

1. Czytanie obliczonego horoskopu urodzeniowego wg ustalonych zasad spisanych w książkach
2. Astrologia magiczna i numerologia - duszki podpowiadają, której metody użyć.
3. Astrolodzy ze zdolnością jasnowidzenia

## Astrologia doświadczalna

### Zjawiska fizyczne

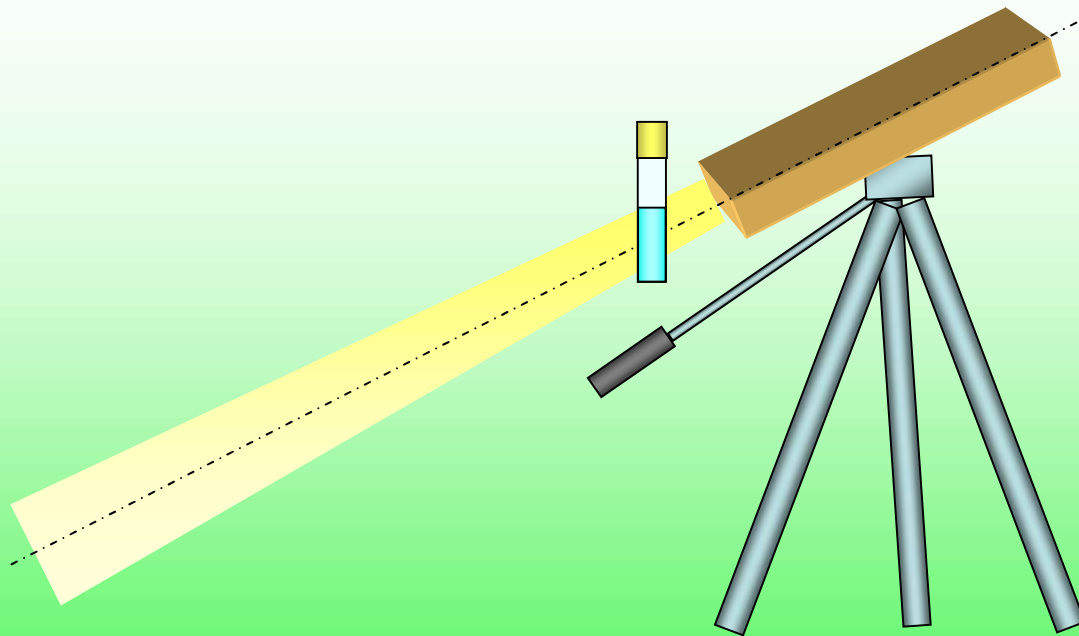
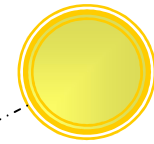
Dwa podejścia:

1. pomiar pól astrologicznych działających na człowieka i zapisanych w komórkach,
2. oddziaływanie preparatów astrologicznych na organizm.



# Akcelerator słoneczny

eight-section accelerator  
of torsion fields,  
powered 45V DC



### Август 2011

	1	2	3	4	5	6	7	8	9	10	11	12	13	14	15	16	17	18	19	20	21	22	23	24	25	26	27	28	29	30	31	
K1	180	90	100	90	90	340	320			90		110	100	100		100				280	300	250	500	300	500	510	110	100	110	130	150	
K2	180	100	90	90	90	100	90			520		270	360	100		100				150	110	100	280	280	110	100	500	570	530	250	110	
K3	180	100	100	90	90	100	90			400		500	550	530		110				230	300	150	300	200	310	320	130	130	120	450	410	30
K4	300	310	340	90	100	100	90			90		130	390	400		580				220	270	110	300	350	350	330	480	410	100	100	320	
K5	320	350	330	400	250	330	400			300		330	460	340		440				430	350	300	360	370	180	200	200	200	430	420	210	22
K6	210	100	100	110	90	380	500			100		110	100	300		420				130	120	100	120	360	520	520	520	550	500	530	530	365
K7	180	100	100	90	90	100	90			290		130	100	100		200				310	360	150	130	150	130	90	100	100	100	120	220	
K8	180	100	100	90	80	100	90			300		200	500	100		100				200	280	360	360	140	100	90	110	100	100	100	110	
K9	420	400	100	100	90	100	90			100		520	100	450		500				100	210	200	200	450	350	110	100	100	100	100	100	
K10	190	100	220	100	90	100	90			120		140	100	150		150				280	290	200	260	290	290	350	430	460	100	100	100	
K11	300	550	360	350	270	100	90			100		130	100	100		100				380	360	330	130	120	250	270	210	280	480	200	100	
K12	180	100	620	650	500	560	750			230		120	120	100		100				370	240	120	500	470	100	190	220	270	300	450	380	27

### Сентябрь 2011

	1	2	3	4	5	6	7	8	9	10	11	12	13	14	15	16	17	18	19	20	21	22	23	24	25	26	27	28	29	30	
K1	450	500	150	240		190	120	120	100		120	420	300	130	130	120	120			200	230	200	200	450	200	150	110	130	360	420	27
K2	180	200	490	380		230	120	130	110		100	110	120	370	330	110	120			120	100	120	140	120	430	400	300	190	270	220	
K3	500	230	270	280		350	370	130	100		100	200	200	100	110	350	420			110	130	120	130	130	200	200	260	380	340	280	
K4	390	480	480	220		200	240	330	360		170	240	270	120	170	110	150			330	150	150	200	140	180	200	270	240	300	400	30,4
K5	200	280	220	440		220	200	200	220		350	210	240	240	220	240	250			360	390	200	220	210	240	240	210	230	240	250	
K6	490	520	450	490		510	480	490	520		500	510	490	480	480	490	520			460	470	500	480	190	130	100	150	180	130	150	
K7	380	150	180	100		100	180	480	470		280	250	270	300	350	390	160			120	100	130	200	520	490	450	490	500	520	470	365
K8	100	400	400	200		100	130	130	100		380	380	380	260	260	290	440			380	240	140	120	130	310	310	320	200	250	270	
K9	100	110	110	400		130	100	120	100		140	200	290	370	400	190	260			440	470	280	200	150	110	120	230	310	420	280	
K10	110	100	100	100		430	430	200	100		100	100	110	170	300	340	380			280	220	400	390	350	260	260	120	120	200	350	22
K11	100	100	120	100		130	190	460	360		120	110	110	110	120	150	470			350	300	300	200	370	400	350	140	150	200	230	
K12	200	110	100	100		100	100	120	370		300	360	230	120	110	100	180			330	380	360	430	120	240	260	340	400	240	230	



Таблица 1 Циклы торсионного поля Солнца

## Inteligentna kapusta

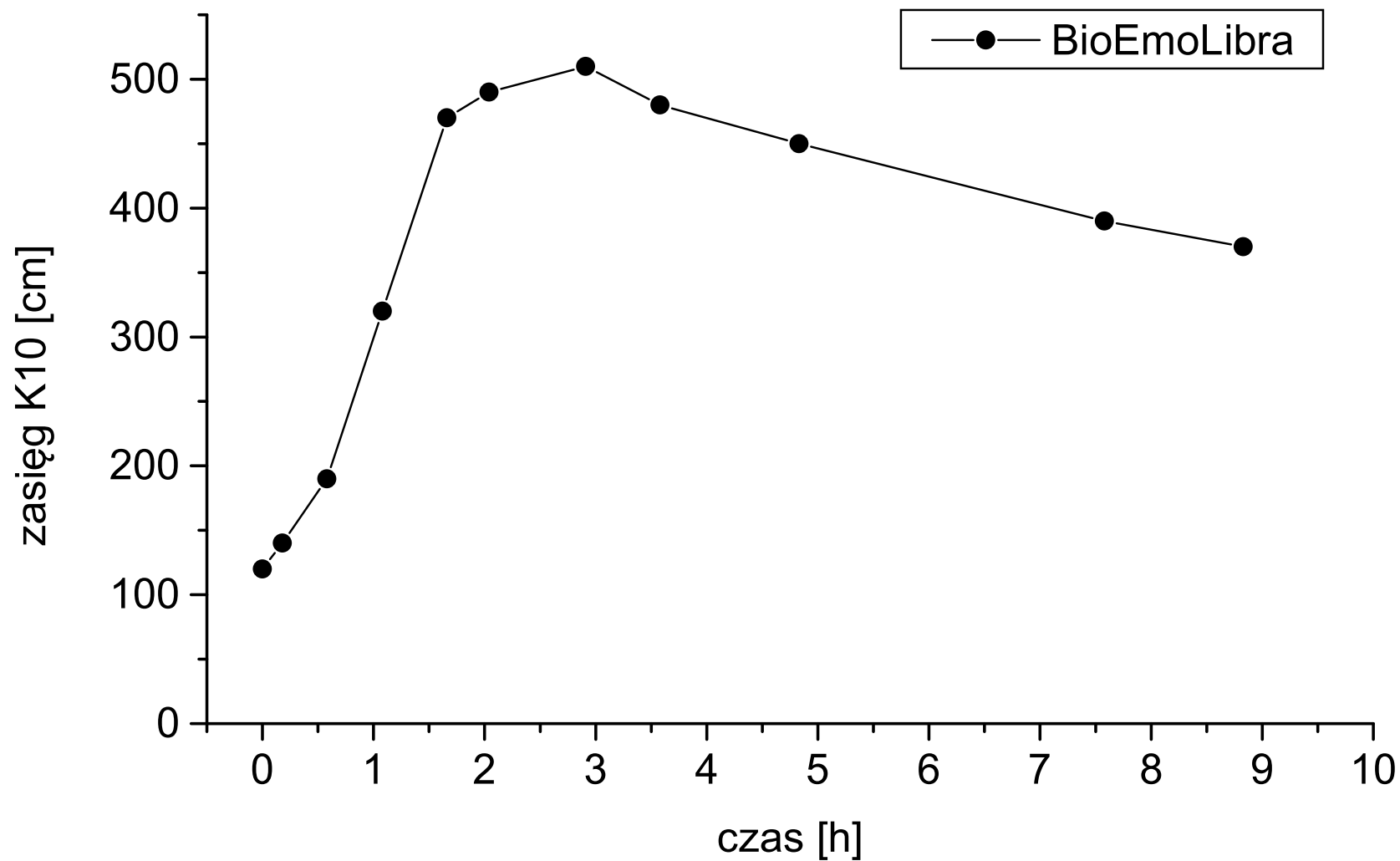
Katego- ria	12min	66min	72min	120min	126min	132min
	zasięg [cm]	zasięg [cm]	zasięg [cm]	zasięg [cm]	zasięg [cm]	zasięg [cm]
K1	650	620	510	440	430	420
K2	460	630	650	610	530	460
K3	420	420	480	530	630	650
K4	420		420	430	430	480
K5	610		610			
K6	430		420			
K7	690		690			
K8	420		430			
K9	610		600			
K10	420		430			
K11	420		420			
K12	530		520			

Kapusta zlicza kolejne godziny od wystąpienia stresu: K1, K2, K3...

## Preparaty homeopatyczne trzech biorytmów, potencjonowane do wszystkich Kateorii



# Farmakokinetyka



wypite 1ml Bio Emo Libra D96, pomiar z boku palca 30s

## Model pamięci jako pola kształtu na cząstkach pola torsyjnego

Nośnikiem są cząstki pola torsyjnego albo WIMP-y albo inne cząstki obojętne wykorzystujące pole torsyjne .

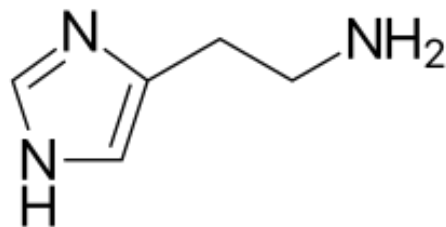
Neutrino też przenoszą informację pola torsyjnego.

Pamięć analogowa.

Zadziwiające właściwości cząstek pola torsyjnego:

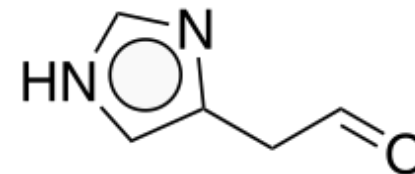
kopiowanie dowolnego kształtu przestrzennego, nie powierzchniowego.

Wielkości mikroskopowe i makroskopowe.



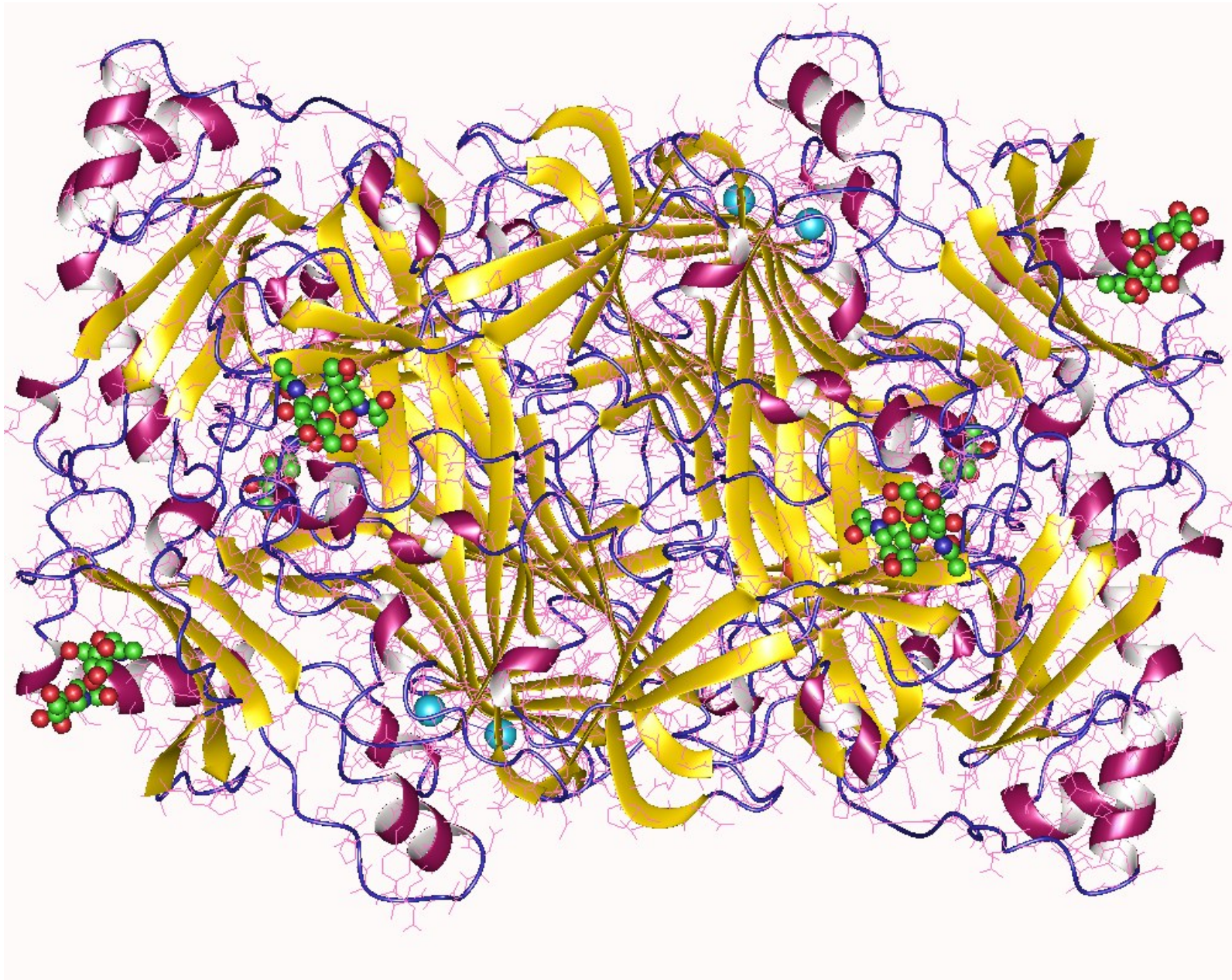
histamine

diamine oxidase



imidazole-4-acetaldehyde

# Diamine oxidase



# Zegar akupunktury

7.11.2014

92mm 13.11.2014 ~10.20 mała fiołka x2x1,4 → fiołka φ próbka 0+1

pomiar	11.20	11.30	11.40	11.50	12.00	12.10	12.20	12.30	12.40
	zasięg [cm]	zasięg [cm]	zasięg [cm]	zasięg [cm]	zasięg [cm]	zasięg [cm]	zasięg [cm]	zasięg [cm]	zasięg [cm]
K1	130	130	130	130	130	130	370	320	330
K2	130	130	130	130	130	130	130	190	130
K3	130	130	130	130	130	130	130	130	190
K4	140	140	130	130	130	130	130	140	140
K5	130	140	130	140	130	130	130	130	130
K6	140	140	140	140	140	130	130	140	130
K7	190	140	130	130	130	130	130	130	130
K8	130	190	130	130	130	130	130	130	130
K9	130	130	190	130	130	130	130	130	130
K10	130	130	130	190	130	130	130	130	130
K11	140	130	130	130	190	130	130	130	130
K12	330	330	330	330	330	370	130	130	130 19

pomiar	14.10	14.20
	zasięg [cm]	zasięg [cm]
K1	320	180
K2	130	330
K3	130	130
K4	130	130
K5	130	130
K6	130	130
K7	130	130
K8	130	130
K9	130	130
K10	130	130
K11	130	130
K12	190	130

Przejście K12 → K1 godz: 12.14, 30s  
na przeładowanie ok 1,5min, ale  
całkowite dojście do maksimum ok.4min

Odwrócenie polaryzacji, ponieważ promień z  
Ziemi był odbity w zwierciadle wklęsłym.

Preparat w 120ml słoiczku (zasięg głównego  
sygnału 7m, szum 160cm) ma tendencję do  
zainfekowywania wody znajdującej się w  
odległości 8cm (100ml). Po 20 min (ze zmianą  
głównego sygnału) zasięg z wody zainfekowanej  
ok. 160 cm dla sygnału głównego.

## U 1/2 [K10] 6.11.2015

godzina	K1	K2	K3	K4	K5	K6	K7	K8	K9	K10	K11	K12
	zasięg [cm]	zasięg [cm]	zasięg [cm]	zasięg [cm]	zasięg [cm]	zasięg [cm]	zasięg [cm]	zasięg [cm]	zasięg [cm]	zasięg [cm]	zasięg [cm]	zasięg [cm]
11.35									170	190		240
11.45	140	140	140	140	140	140	140	140	140	220	140	250
11.56										190	170	240
12.05	140	140	140	140	140	140	140	140	140	180	140	290
12.16	300	140								180	130	140
12.24	290	140										
12.25	240	180	140									
12.35	250	140	170							190		

**cykl 2-godzinny - zegar akupunktury**

## U235 1/2 [K8] 7.11.2015

godzin a	K1	K2	K3	K4	K5	K6	K7	K8	K9	K1 0	K1 1	K1 2
	zasięg [cm]	zasięg [cm]	zasięg [cm]	zasięg [cm]	zasięg [cm]	zasięg [cm]	zasięg [cm]	zasięg [cm]	zasięg [cm]	zasięg [cm]	zasięg [cm]	zasięg [cm]
12.36	270	130	190	130	130	130	130	190	130	130	130	130
12.51	270			190				190				
12.56	270				190			190				
13.04	270				190	130						
13.05	270				130	190		190				
13.16							190					
13.27								270				
13.37								190	190			
13.45										190		
13.57								190		130	190	130
14.06	270	130						190			130	190
14.16	190	280						190				130

**cykl 2-godzinny - zegar akupunktury**